温度勾配法を用いた単結晶 SnSe の作製とその熱電物性

Single Crystal growth of SnSe using temperature gradient method and the thermoelectric properties

○秋山 拓海、宮田 全展 、西野 俊佑、大島 義文、小矢野 幹夫(北陸先端大)

^oTakumi Akiyama, Masanobu Miyata, Shunsuke Nishino, Yoshifumi Oshima, Mikio Koyano

(JAIST)

E-mail: s1430002@jaist.ac.jp

近年,単結晶の SnSe が非常に高い熱電性能を示すことが報告された[1]。SnSe の結晶構造は空間群 Pnma (a=11.49 Å, b=4.44 Å, c=4.14 Å) であり, 熱電物性に異方性があることが知られている。 b 軸および c 軸方向の ZT は $ZT_{b\text{-axis}}$ =2.6, $ZT_{c\text{-axis}}$ =2.3 と高い値を示すのに対して, a 軸方向の ZT は $ZT_{a\text{-axis}}$ =0.8 という低い値を示す。したがって,SnSe の熱電物性を測定するためには単結晶を作製する必要がある。本研究では単結晶の育成方法として,ブリッジマン法より簡便な温度勾配法を採用した。温度勾配法とは,温度勾配のある炉内に試料を設置し,炉全体の温度を除冷していくことで,結晶を成長させる方法である。合成した SnSe の試料の構造を XRD および TEM で評価し,5~340 K の熱電物性を PPMS で測定した。

試料の作製を次の手順で行った。(i) 化学量論比の Sn (99.99%), Se (99.999%) を合計 $10 \, \mathrm{g} \, \mathrm{c}$ なるように秤量し、石英管に真空封入する。アンプルの内径は $8.5 \, \mathrm{mm}$ 、長さは $150 \, \mathrm{mm} \, \mathrm{c}$ した。(ii) 横型管状炉中にアンプルを斜めに設置し、試料を加熱・溶融させる。このとき、アンプル両端の温度差は $17 \, \mathrm{Ce}$ なるように設置した。(iii) 温度差を保ったまま $800 \, \mathrm{Ce} \, \mathrm{c} \, \mathrm{c} \, \mathrm{c}$ で除冷することで試料結晶を得た。合成した SnSe 結晶は高いへき開性を示す。へき開面は Fig. $1 \, \mathrm{o}$ 的結晶の上面である。粉末 XRD により、試料は単相の SnSe であることを確認した。

Figure 2 に STEM-ABF 像を示す。へき開面に沿って原子が正しく並んでいることが分かる。報告されている SnSe の結晶構造と比較すると、この像は [011] 方向の原子列と一致することが確かめられた。この方位から見た単位胞を四角で示した。写真から求めた a 方向の格子定数は 11.5 Å であり、報告されている格子定数と一致する。また、広い範囲で結晶欠陥がない事も確認できた。これらの結果により、温度勾配法で作製した SnSe は純良な単結晶であることが明らかになった。

合成した SnSe の電気抵抗率 ρ , 熱伝導率 κ 及び熱電能 S を測定した。熱流と電流は α 面 (へき開面) に平行に流した。Figure 3 に S の温度依存性を示す。S の符号は正であり,p 型熱電材料を示す。S は温度の上昇とともに増加し,室温で約 500 μ VK-1 と高い値を示す。この値は報告にあった SnSe[1]とほぼ同等である。その一方,室温で熱伝導率 κ と電気抵抗率 ρ は報告されている値よりも高くなっており,ZT は低い値となっている。

講演では、実験結果とあわせて第一原理電子状態計算の結果 も報告する。

[1] Li-Dong Zhao et al., Nature 508, 373–377 (17 April 2014).

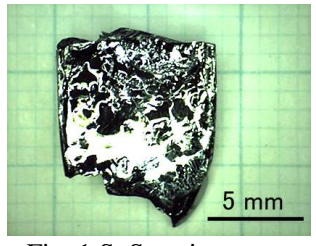


Fig. 1 SnSe using temperature gradient method

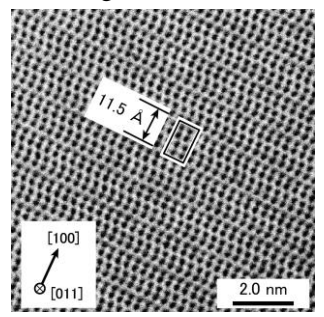


Fig. 2 STEM-ABF along the [011]

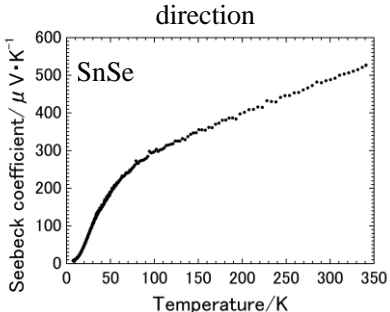


Fig. 3 Temperature dependence of Seebeck coefficient *S* of SnSe.